

Elsevier Editorial System(tm) for Revista

Clínica Española

Manuscript Draft

Manuscript Number:

Title: Ausencia de implicación de la cistatina C en el remodelado ventricular y la insuficiencia cardiaca. Lack of involvement of Cistatyn C in ventricular remodeling and heart failure

Article Type: Original

Keywords: Insuficiencia cardiaca; cistatina C; remodelado ventricular; remodelado cardiaco; productos genes de mantenimiento; proteasas ricas en cisteína

Heart failure; Cystatin C; Left ventricle remodeling; Heart remodeling; Housekeeping gene products; Cysteine proteases.

Corresponding Author: Prof. Juan Ignacio Pérez-Calvo, MD, PhD

Corresponding Author's Institution: Hospital Clínico Universitario

First Author: Juan Ignacio Pérez-Calvo, MD, PhD

Order of Authors: Juan Ignacio Pérez-Calvo, MD, PhD; Tomás Castiella-Muruzábal, MD, PhD; Marina Búcar-Barjud; Claudia Josa-Laorden; Marta Sánchez-Marteles; Isaac Lacambra-Blasco; Mari C Asensio-López; Domingo A Pascual-Figal, MD, PhD

Abstract: La cistatina C (CisC) es una proteasa codificada por genes de mantenimiento ("housekeeping genes"). Aunque su valor pronóstico en la insuficiencia cardiaca (IC) es bien conocido, se debate si es debido a su mayor precisión en la estimación del filtrado glomerular, o está implicada en el remodelado ventricular patológico. El propósito del estudio fue comprobar si la expresión de la CisC se modificaba en el miocardio de fetos de diferentes edades y en el de adultos con diversas enfermedades cardiovasculares. Así mismo analizar la correlación entre sus concentraciones séricas y la estructura y morfología cardiaca en un grupo de pacientes con IC.

Pacientes y métodos: se analizaron las correlaciones (test de Pearson y Spearman) de la CisC sérica y los parámetros ecocardiográficos de 351 pacientes con IC. También se realizó una tinción inmunohistoquímica para CisC, metaloproteínasa 9 (MMP-9) y desmina en 9 muestras de tejido cardiaco procedentes de autopsia de 4 fetos con diferente edad gestacional y 5 adultos sanos o con enfermedad cardiovascular.

Resultados: en pacientes con IC no se encontró correlación entre las concentraciones de CisC y los parámetros cardiacos medidos por ecocardiografía 2D. La inmunohistoquímica mostró en todos los casos una débil tinción de fondo para CisC en todas las muestras, independientemente de la edad y la presencia o no de enfermedades cardiovasculares.

Conclusiones: nuestros resultados sugieren que la CisC no tiene un papel significativo en el remodelado patológico del ventrículo izquierdo en la IC.

Background: Cystatin C is a product of housekeeping genes with antiprotease activity. Its role as a prognostic factor in heart failure (HF) is well known. It is debatable whether this is related solely to its accuracy in measuring renal function or whether it is actually involved in heart remodeling.

Aim: To see left-ventricle CysC expression at different fetal ages and stages of cardiovascular disease in adults. We also aimed to correlate serum concentrations of CysC with heart structure in HF patients.

Design: Cross-sectional study aimed at discovering association between serum CysC concentration and structural parameters in HF. In a separate non-related cohort we performed a descriptive study of the immunohistochemical staining pattern of CysC in several samples of healthy and unhealthy hearts.

Methods: We analyzed the correlations (Pearson and Spearman tests) between serum CysC and 2D echocardiographic structural and functional parameters among 351 patients admitted for acute HF (clinical cohort). We also performed an immunohistochemical staining for CysC, MMP-9 and Desmin in left-ventricle samples obtained from autopsies of fetuses and adult subjects (without heart disease, with LV hypertrophy or with HF).

Results: In the clinical cohort no correlation was found between either functional or structural parameters of the heart and serum CysC. In immunohistochemical staining, all cardiomyocytes had weak expression of Cystatin C. This pattern was similar in all fetal and adult samples, irrespective of age and cardiovascular health status.

Conclusions: Our data suggest that CysC has not an actual role in LV remodeling or HF progression.

Suggested Reviewers:

Opposed Reviewers:

1 Abstract

2  
3 La cistatina C (CisC) es una proteasa codificada por genes de mantenimiento  
4 (*“housekeeping genes”*). Aunque su valor pronóstico en la insuficiencia cardiaca (IC)  
5  
6 (*“housekeeping genes”*). Aunque su valor pronóstico en la insuficiencia cardiaca (IC)  
7  
8 es bien conocido, se debate si es debido a su mayor precisión en la estimación del  
9  
10 filtrado glomerular, o está implicada en el remodelado ventricular patológico. El  
11  
12 propósito del estudio fue comprobar si la expresión de la CisC se modificaba en el  
13  
14 miocardio de fetos de diferentes edades y en el de adultos con diversas  
15  
16 enfermedades cardiovasculares. Así mismo analizar la correlación entre sus  
17  
18 concentraciones séricas y la estructura y morfología cardiaca en un grupo de  
19  
20 pacientes con IC.  
21

22  
23 Pacientes y métodos: se analizaron las correlaciones (test de Pearson y Spearman) de  
24  
25 la CisC sérica y los parámetros ecocardiográficos de 351 pacientes con IC. También se  
26  
27 realizó una tinción inmunohistoquímica para CisC, metaloproteinasa 9 (MMP-9) y  
28  
29 desmina en 9 muestras de tejido cardiaco procedentes de autopsia de 4 fetos con  
30  
31 diferente edad gestacional y 5 adultos sanos o con enfermedad cardiovascular.  
32  
33

34  
35 Resultados: en pacientes con IC no se encontró correlación entre las concentraciones  
36  
37 de CisC y los parámetros cardiacos medidos por ecocardiografía 2D. La  
38  
39 inmunohistoquímica mostró en todos los casos una débil tinción de fondo para CisC  
40  
41 en todas las muestras, independientemente de la edad y la presencia o no de  
42  
43 enfermedades cardiovasculares.  
44

45  
46 Conclusiones: nuestros resultados sugieren que la CisC no tiene un papel significativo  
47  
48 en el remodelado patológico del ventrículo izquierdo en la IC.  
49

50  
51  
52  
53  
54  
55 Structured abstract

56  
57 Background: Cystatin C is a product of housekeeping genes with antiprotease  
58  
59 activity. Its role as a prognostic factor in heart failure (HF) is well known. It is  
60  
61  
62  
63  
64  
65

1  
2  
3  
4  
5  
6  
7  
8  
9  
10  
11  
12  
13  
14  
15  
16  
17  
18  
19  
20  
21  
22  
23  
24  
25  
26  
27  
28  
29  
30  
31  
32  
33  
34  
35  
36  
37  
38  
39  
40  
41  
42  
43  
44  
45  
46  
47  
48  
49  
50  
51  
52  
53  
54  
55  
56  
57  
58  
59  
60  
61  
62  
63  
64  
65

debatable whether this is related solely to its accuracy in measuring renal function or whether it is actually involved in heart remodeling.

Aim: To see left-ventricle CysC expression at different fetal ages and stages of cardiovascular disease in adults. We also aimed to correlate serum concentrations of CysC with heart structure in HF patients.

Design: Cross-sectional study aimed at discovering association between serum CysC concentration and structural parameters in HF. In a separate non-related cohort we performed a descriptive study of the immunohistochemical staining pattern of CysC in several samples of healthy and unhealthy hearts.

Methods: We analyzed the correlations (Pearson and Spearman tests) between serum CysC and 2D echocardiographic structural and functional parameters among 351 patients admitted for acute HF (clinical cohort). We also performed an immunohistochemical staining for CysC, MMP-9 and Desmin in left-ventricle samples obtained from autopsies of fetuses and adult subjects (without heart disease, with LV hypertrophy or with HF).

Results: In the clinical cohort no correlation was found between either functional or structural parameters of the heart and serum CysC. In immunohistochemical staining, all cardiomyocytes had weak expression of Cystatin C. This pattern was similar in all fetal and adult samples, irrespective of age and cardiovascular health status.

Conclusions: Our data suggest that CysC has not an actual role in LV remodeling or HF progression.

Key words:

Heart failure; Cystatin C; Left ventricle remodeling; Heart remodeling; Housekeeping gene products; Cysteine proteases.

## Introducción

1  
2 La cistatina C (CisC) es una proteasa inhibidora de proteasas ricas en cisteína,  
3  
4 ampliamente distribuida en fluidos biológicos humanos <sup>1</sup>. Es una proteína de bajo  
5  
6 peso molecular, formada por 120 aminoácidos en una cadena única. Se sintetiza  
7  
8 como preproteína y emite un péptido señal representativo de su función  
9  
10 extracelular<sup>2</sup>. El gen que la codifica se localiza en el cromosoma 20<sup>3</sup> y pertenece a  
11  
12 los denominados genes de mantenimiento (“*housekeeping genes*”). Por ello, no  
13  
14 existe una expresión específica en ningún tejido, sino que su distribución es ubicua  
15  
16 que se expresa en el riñón, hígado, páncreas, intestino, estómago, pulmón, placenta  
17  
18 y vesículas seminales<sup>4</sup>. La función fisiológica principal de la CisC es la regulación de  
19  
20 la actividad de las cisteín-proteasas extracelulares<sup>5,6</sup>. Gracias a su participación en el  
21  
22 equilibrio entre proteasas y antiproteasas, se ha sugerido que la CisC está implicada  
23  
24 en el remodelado tisular<sup>7</sup>, la arterioesclerosis y aneurismas de la aorta<sup>8</sup> y la  
25  
26 hipertrofia del ventrículo izquierdo (VI)<sup>9</sup> y, en consecuencia, en la patogenia de la  
27  
28 insuficiencia cardiaca (IC)<sup>10,11</sup>.

29  
30 La CisC se comporta como un factor pronóstico relacionado inversamente con la  
31  
32 calidad del envejecimiento<sup>12</sup> y directamente, en la población general, con la  
33  
34 aparición de eventos cardiovasculares<sup>13</sup> y la incidencia de IC<sup>14-16</sup>. Entre quienes ya  
35  
36 sufren una IC, la CisC es un marcador pronóstico robusto de mortalidad, tanto en la  
37  
38 IC aguda<sup>17-19</sup>, como crónica<sup>20</sup>, independiente de la fracción de eyección (FE)<sup>21</sup>. Se  
39  
40 desconoce si su capacidad pronóstica es debida a su implicación en el remodelado  
41  
42 ventricular, tal y como sugiere Pate et al.<sup>10</sup>; o a su mayor precisión en la estimación  
43  
44 del filtrado glomerular (FG)<sup>22</sup>, cuya capacidad pronóstica en la IC es bien conocida<sup>23</sup>.  
45  
46 El presente estudio se diseñó para analizar si existen cambios en la tinción de CisC en  
47  
48 el miocardio ventricular dependientes de la edad y el estado de salud cardiovascular  
49  
50 y, en segundo lugar, si las concentraciones plasmáticas de CisC guardan alguna  
51  
52 relación con las modificaciones estructurales del corazón en la IC ya establecida.  
53  
54  
55  
56  
57  
58  
59  
60  
61  
62  
63  
64  
65

1  
2 Pacientes y métodos  
3

4 Se estudiaron dos grupos de pacientes no relacionados entre si.  
5

6 1) Análisis de CisC en el tejido miocárdico:  
7

8 Se seleccionaron 9 muestras de tejido miocárdico obtenido de autopsias clínicas  
9 (Tabla 1) sobre las que se realizó una tinción inmunohistoquímica para CisC,  
10 metaloproteinasa de matriz 9 (MMP9) y desmina. Se pretendía comparar de modo  
11 cualitativo la expresión miocárdica de la CisC, con una proteína de expresión  
12 obligada (desmina) y otra de expresión variable (MMP9).  
13  
14  
15  
16  
17  
18  
19

20 Se seleccionaron 4 muestras fetales con diferente edad gestacional y 5 de adultos sin  
21 enfermedad estructural cardíaca conocida (3 pacientes) o de pacientes con  
22 antecedentes de enfermedad cardíaca (2 pacientes), hallazgos confirmados en la  
23 autopsia. Se pretendía valorar posibles cambios dependientes del desarrollo  
24 evolutivo, de la edad, y las enfermedades subyacentes, ya que la expresión de los  
25 genes de mantenimiento es muy constante e independiente.  
26  
27  
28  
29  
30  
31  
32

33 Las muestras estaban fijadas en formalina y embebidas en una mezcla de cera y  
34 parafina. Se tallaron secciones de 3 µm que se colocaron sobre placas de cristal  
35 cubiertas de poly-L-lisina. Las secciones se desparafinizaron y pre-trataron con  
36 solución Dako-PT-Link ® durante 20 minutos a 97°C, empleando una solución de  
37 EnVision FLEX Target Retrieval Solution, High pH ® (Dako, Denmark). La  
38 inmunotinción, propiamente, se realizó con EnVision ® FLEX+ (Dako), según  
39 recomendaciones del fabricante. Previo enfriamiento de la peroxidasa endógena, las  
40 secciones se incubaron durante 30 minutos con un anticuerpo primario para la  
41 proteína seleccionada a temperatura ambiente. Para la desmina se utilizó un  
42 anticuerpo monoclonal (Clone D33, solución 1:100). Para la MMP9 se usó un  
43 anticuerpo policlonal (ab3898, 1:100), ambos de Dako y Abcam (Cambridge, MA,  
44 Estados Unidos de América) respectivamente. Para la CisC se utilizaron anticuerpos  
45  
46  
47  
48  
49  
50  
51  
52  
53  
54  
55  
56  
57  
58  
59  
60  
61  
62  
63  
64  
65

1  
2  
3  
4  
5  
6  
7  
8  
9  
10  
11  
12  
13  
14  
15  
16  
17  
18  
19  
20  
21  
22  
23  
24  
25  
26  
27  
28  
29  
30  
31  
32  
33  
34  
35  
36  
37  
38  
39  
40  
41  
42  
43  
44  
45  
46  
47  
48  
49  
50  
51  
52  
53  
54  
55  
56  
57  
58  
59  
60  
61  
62  
63  
64  
65

de Novus Biologicals (Cambridge, Reino Unido) (Cystatin C Antibody 2C8). Tras la incubación con el anticuerpo primario las secciones se incubaron con el anticuerpo secundario seguido de la exposición al complejo estreptavidina-biotina y diaminobenzidina.

## 2) Análisis de la relación entre CisC sérica y la estructura cardiaca.

Se analizó una cohorte de pacientes consecutivamente ingresados por una descompensación aguda de su IC. Se midieron las concentraciones séricas de CisC durante las primeras 48 horas tras el ingreso y se realizó un estudio ecocardiográfico bidimensional. Los pacientes fueron seleccionados en el Servicio de Medicina Interna del Hospital Clínico Universitario Lozano Blesa (HCULB) y dieron su consentimiento para el estudio, que había sido aprobado por el Comité de Ética de Aragón (PI10/038). Se consideró como agudización de la IC al inicio gradual o rápido de signos y síntomas de IC que requirieron un ingreso hospitalario no planificado. Se incluyeron tanto pacientes con IC “de novo”, como aquellos con IC crónica descompensada<sup>24</sup>. Para asegurar el diagnóstico de IC, especialmente en pacientes con FE preservada, solo se incluyeron si la concentración sérica del fragmento amino terminal del propéptido natriurético cerebral (NT-proBNP) fue superior a 900 pg/mL<sup>25</sup>.

La ecocardiografía se realizó según los protocolos estándar de acuerdo a las guías<sup>26</sup> por un cardiólogo experto que desconocía los datos clínicos y analíticos de los pacientes.

La determinación de CisC y NT-proBNP se realizó en el laboratorio de Bioquímica Clínica del HCULB con un analizador BN ProSpec (Dade Behring GmbH, Liederbach, Alemania) y un equipo Modular Analytics E170 (Roche Diagnostics GmbH, Mannheim, Alemania), respectivamente, siguiendo las especificaciones de los fabricantes.

Análisis estadístico.

1  
2 Para las variables cualitativas se midió la dispersión y la tendencia central (media y  
3 desviación estándar o mediana y rango intercuartílico, según la distribución fuera  
4 normal o no). Para el análisis bivalente se empleó el test del Chicuadrado; para los  
5 análisis de asociación entre variables cualitativas se aplicó el test exacto de Fisher.  
6  
7 Para variables cuantitativas se aplicó la t de Student, el test de ANOVA y el de Mann-  
8  
9 Whitney o el de Kruskal-Wallis. Para las correlaciones, los test de Spearman o  
10  
11 Pearson si la distribución era normal. Se consideraron significativos los valores de  $p <$   
12  
13  $0,05$ . Se empleo el software Statistical Package Social Sciences (SPSS 20.0).  
14  
15

## 16 17 Resultados

### 18 19 1) Inmunohistoquímica miocárdica (Fig. 1)

20 Al contrario que las muestras de tejido procedentes de los adultos, las fetales  
21  
22 mostraban una mayor riqueza celular y un patrón estructural desordenado. La débil  
23  
24 expresión de la desmina en el miocardio fetal se explica por un estadio de desarrollo  
25  
26 sarcomérico todavía temprano (Figura 1, Panel B). En los tejidos adultos la desmina  
27  
28 fue positiva en todas las muestras, mostrando una estriación transversal  
29  
30 correspondiente a discos intercalares (Figura 1, Panel C). La MMP9 mostró una  
31  
32 inmunotinción similar en las muestras fetales (Figura 1, Panel D) y en las de adultos  
33  
34 (Figura 1, Panel E). Se encontraron algunas células intersticiales que captaron  
35  
36 pigmento pero la tinción fue negativa para MMP9. Todos los cardiomiocitos, fetales  
37  
38 (Figura 1, Panel F) y adultos (Figura 1, Panel G), mostraron una tinción débil y difusa  
39  
40 para la CisC independientemente de la edad fetal y del estado de salud de los  
41  
42  
43  
44  
45  
46  
47  
48  
49  
50  
51  
52  
53  
54  
55  
56  
57  
58  
59  
60  
61  
62  
63  
64  
65

### 66 67 2) Relación entre CisC sérica y estructura cardiaca.

68 Se estudiaron 351 pacientes, 245 (73%) con IC con FE preservada (ICFEp) y 102 (27%)  
69  
70 IC con FE reducida (ICFEr). Las características clínicas de la cohorte se muestran en  
71  
72 la Tabla 2.



1 La correlación entre las concentraciones séricas de CisC y los principales parámetros  
2 estructurales obtenidos por ecocardiografía se muestran en la Tabla 3. No se  
3  
4 encontró ninguna correlación significativa entre la CisC y los hallazgos  
5  
6 ecocardiográficos.  
7

8 Aunque no fue el propósito del estudio, se analizó la información pronóstica ofrecida  
9  
10 por la CisC sérica y su correlación con el FG estimado por la fórmula de MDRD-4  
11  
12 (*“Modification Diet in Renal Diseases formula”*, basada en 4 parámetros). La  
13  
14 concentración de CisC tuvo una correlación directa con la mortalidad por cualquier  
15  
16 causa a un año y con el FG estimado.  
17  
18  
19  
20  
21

## 22 Discusión

23  
24 Nuestros resultados muestran que la CisC no cambia su patrón de expresión en el  
25  
26 miocardio ventricular en distintas etapas de desarrollo fetal, ni en el adulto en  
27  
28 función de su estado de salud cardiovascular. La tinción inmunohitoquímica de la  
29  
30 CisC, débil y generalizada en todas las muestras miocárdicas analizadas, sugiere que  
31  
32 esta proteasa se sintetiza de modo constitutivo, no inducido, y se secreta al torrente  
33  
34 circulatorio. Este patrón está en consonancia con las acciones biológicas de la CisC,  
35  
36 fundamentalmente extracelulares<sup>1,2</sup>. El hecho de que la tinción de CisC en muestras  
37  
38 de miocardio ventricular de pacientes con hipertrofia del VI, o con IC, no denoten  
39  
40 cambios en la distribución, sugiere que la CisC no está involucrada en la progresión  
41  
42 de la hipertensión hacia la IC. Aunque la cohorte clínica analizada no tenía relación  
43  
44 con los pacientes de los que se analizaron muestras tisulares, la ausencia de  
45  
46 correlación entre las concentraciones de CisC sérica y la estructura cardíaca también  
47  
48 debe ser interpretada en este contexto. La CisC no se relaciona con las anomalías  
49  
50 morfológicas cardíacas, medidas por ecocardiografía, en la etapa evolutiva final del  
51  
52 remodelado cardíaco, es decir en presencia de IC. Sin embargo las concentraciones  
53  
54 de CisC tienen un valor pronóstico incuestionable en la IC<sup>10,11,14-22</sup>. Por su pequeño  
55  
56  
57  
58  
59  
60  
61  
62  
63  
64  
65

1 tamaño molecular y carga eléctrica, la CisC se filtra libremente en el glomérulo y se  
2 cataboliza en el túbulo contorneado proximal, sin sufrir ulteriores modificaciones,  
3 como ocurre con la urea o la creatinina<sup>11</sup>. Estas razones hacen que la CisC sea  
4 particularmente precisa en la estimación del FG en la disfunción renal con  
5 aclaramientos entre 40 y 60 ml/min., márgenes en los que la creatinina proporciona  
6 estimaciones de FG muy poco precisas. De hecho la estimación del riesgo de muerte  
7 en pacientes con IC y estos rangos de FG mejora y permite reclasificar a  
8 los pacientes de modo más preciso incluyendo la CisC en las fórmulas de  
9 estimación<sup>22,27</sup>.

10 La posibilidad de que la CisC esté implicada en etapas precoces del remodelado  
11 cardiaco surge de los resultados de una cohorte poblacional del Dallas Heart Study<sup>10</sup>.  
12 En ella se estudio mediante resonancia magnética cardiaca una población de 2548  
13 sujetos no seleccionados y se encontró una relación lineal entre las concentraciones  
14 séricas de esta proteasa, el espesor de la pared posterior del VI y el cociente entre la  
15 masa y el volumen telediastólico del VI, un parámetro novedoso al que los autores  
16 denominaron “concentricidad” cardiaca. Los autores sugieren que la CisC sería un  
17 parámetro útil para identificar individuos con alteraciones preclínicas en la  
18 estructura cardiaca, concretamente con un fenotipo específico de hipertrofia VI  
19 concéntrica que, de acuerdo con su hipótesis, precedería en años a la aparición de  
20 disfunción diastólica o IC<sup>10</sup>. En algunos estudios se ha sugerido que este fenotipo de  
21 hipertrofia VI concéntrica depende del equilibrio entre las cisteína-proteinasas  
22 (catepsina B, S y K) y sus inhibidores (CisC)<sup>9,28,29</sup>. Sin embargo, en nuestro estudio no  
23 encontramos cambios en el patrón de tinción de la CisC miocárdica, ni entre sus  
24 concentraciones séricas y los parámetros ecocardiográficos, que apoyen esta  
25 interpretación. Estas diferencias pueden, al menos en parte, explicarse por las  
26 diferencias en la metodología y poblaciones de ambos estudios. Aunque en el estudio  
27 de Patel et al<sup>10</sup> se utilizó una técnica precisa como la resonancia magnética, debe

1  
2  
3  
4  
5  
6  
7  
8  
9  
10  
11  
12  
13  
14  
15  
16  
17  
18  
19  
20  
21  
22  
23  
24  
25  
26  
27  
28  
29  
30  
31  
32  
33  
34  
35  
36  
37  
38  
39  
40  
41  
42  
43  
44  
45  
46  
47  
48  
49  
50  
51  
52  
53  
54  
55  
56  
57  
58  
59  
60  
61  
62  
63  
64  
65

resaltarse que el remodelado es un proceso local y que las concentraciones séricas de la CisC podrían no reflejar lo que ocurre a nivel tisular<sup>30</sup>, algo que apoyan los resultados de la inmunohistoquímica en nuestro estudio.

La importancia del equilibrio entre proteasas y antiproteasas en la fisiopatología del remodelado cardiaco se ha estudiado en algunos trabajos<sup>31</sup>. Algunos autores atribuyen al balance entre las metaloproteinasas de la matriz (MMP) y sus inhibidores (TIMP) un papel clave en la diferenciación de los fenotipos de ICFeP e ICFeR<sup>32</sup>.

Stypman et al<sup>28</sup> analizó la histología y los cambios histomorfométricos en los corazones de 40 ratones con ausencia del gen codificante de la catepsina L. Al cabo de un año, los ratones deficientes mostraban, en comparación con los controles, un crecimiento significativo de la aurícula y el ventrículo, secundario a la fibrosis del intersticio miocárdico. Estas anomalías se reflejaban en la ecocardiografía en un deterioro importante de la contractilidad del VI, interpretado como una respuesta adaptativa a los cambios histológicos experimentados por el ratón deficitario para la catepsina L<sup>28</sup>. También se ha encontrado un incremento en la expresión de la catepsina B, tanto a nivel del RNA mensajero, como de la proteína, en un grupo de 20 pacientes con miocardiopatía dilatada grave, en comparación con 5 sujetos donantes de corazón<sup>29</sup>. Existen por tanto indicios de que algunas proteasas lisosomales participan en el remodelado cardiaco, no obstante el papel de las antiproteasas no se analizó de modo simultáneo en estos estudios.

En cualquier caso las familias de proteasas y antiproteasas son numerosas y sus papeles fisiológicos variados, por lo que el comportamiento de algunas de ellas pueden no ser extrapolables. Chen et al<sup>9</sup> analizaron por PCR en tiempo real, inmunoblot e inmunohistoquímica, la expresión de catepsina S y K y su antiproteasa, la CisC, en corazones hipertróficos en humanos y en ratas. Encontraron que la expresión de las catepsinas era mayor en los corazones de sujetos con IC, que en aquellos que solo tenían hipertrofia del VI, o los del grupo control. Sin embargo la expresión de

1 CisC no aumentó en ningún espécimen de tejido de ninguno de los sujetos  
2 analizados<sup>9</sup>. Estos resultados coinciden con los que nosotros encontramos en el  
3 presente estudio. Existen algunas explicaciones que justifican la ausencia de  
4 expresión de la CisC en el remodelado ventricular. En primer lugar, podría ser que la  
5 secreción de CisC en respuesta al incremento de la producción de catepsinas sea  
6 defectuoso. En este caso, la ausencia de acción de la CisC conduciría a un aumento  
7 de la actividad elastolítica de las catepsinas, lo que indirectamente favorecería la  
8 dilatación ventricular y la IC. En segundo lugar, es posible que determinados factores  
9 locales sean decisivos en la localización de la actividad de la CisC. Se sabe que un pH  
10 neutro del entorno extracelular reduce la actividad de las catepsinas y se ha  
11 demostrado que la enzima H<sup>+</sup>-ATPasa lisosomal se trasloca a la membrana<sup>33</sup> y crea un  
12 ambiente ácido que favorece la activación de las catepsinas activadoras de las  
13 MMP<sup>34</sup>. Es posible que algo similar ocurra con la CisC. De hecho esta proteasa ejerce  
14 sus acciones fisiológicas en los fluidos corporales, lejos de las células que la  
15 producen<sup>2</sup>.

16 Limitaciones del estudio: el número de muestras tisulares estudiadas es pequeño y la  
17 tinción inmunohistoquímica puede no reflejar de modo suficientemente sensible lo  
18 que ocurre a nivel tisular en procesos biológicos complejos y dinámicos.

19 En conclusión, el patrón de distribución débil y homogéneo de la tinción  
20 inmunohistoquímica para la CisC en el tejido miocárdico de fetos de diferentes  
21 edades; de adultos con y sin enfermedades cardíacas; así como, de modo indirecto,  
22 la ausencia de relación entre las concentraciones séricas de CisC y los parámetros  
23 morfológicos y funcionales obtenidos por ecocardiografía en pacientes con IC,  
24 sugieren que la CisC no está implicada directamente en el remodelado cardíaco que  
25 conduce a la IC. Es muy probable que la información que la CisC proporciona en los  
26 pacientes con IC, sea un marcador subrogado del FG, cuya importancia pronóstica es

de sobra conocida<sup>23</sup> y puede medirse con mayor precisión mediante la incorporación  
de la CisC a las formulas de estimación<sup>22,27</sup>.

1  
2  
3  
4  
5  
6  
7  
8  
9  
10  
11  
12  
13  
14  
15  
16  
17  
18  
19  
20  
21  
22  
23  
24  
25  
26  
27  
28  
29  
30  
31  
32  
33  
34  
35  
36  
37  
38  
39  
40  
41  
42  
43  
44  
45  
46  
47  
48  
49  
50  
51  
52  
53  
54  
55  
56  
57  
58  
59  
60  
61  
62  
63  
64  
65

## Referencias

- 1  
2 1.- Barrett AJ, Fritz H, Grubb A, Isemura S, Jarvinen M, Katunuma N, et al.  
3  
4 Nomenclature and classification of the proteins homologous with the cysteine-  
5  
6 proteinase inhibitor chicken cystatin. *Biochem J* 1986; 236: 312.  
7  
8  
9
- 10 2.- Abrahamson M, Grubb A, Olafsson I, Lundwall A. Molecular cloning and sequence  
11  
12 analysis of cDNA coding for the precursor of the human cysteine proteinase inhibitor  
13  
14 cystatin C. *FEBS Lett* 1987; 216: 229-233.  
15  
16  
17
- 18 3.- Abrahamson M, Islam MQ, Szpirer J, Szpirer C, Levan G. The human cystatin C  
19  
20 gene (CST3), mutated in hereditary cystatin C amyloid angiopathy, is located on  
21  
22 chromosome 20. *Hum Genet* 1989; 82: 223-226  
23  
24  
25  
26  
27
- 28 4.- Abrahamson M, Olafsson I, Palsdottir A, Ulvsbäck M, Lundwall A, Jansson O, et al.  
29  
30 Structure and expression of the human cystatin C gene. *Biochem J* 1990; 268: 287-  
31  
32 294.  
33  
34  
35  
36  
37
- 38 5.- Barrett AJ, Davies ME, Grubb A. The place of human gamma-trace (cystatin C)  
39  
40 amongst the cysteine proteinase inhibitors. *Biochem Biophys Res Commun* 1984;  
41  
42 120:631-636.  
43  
44  
45  
46
- 47 6.- Merz GS, Benedikz E, Schwenk V, Johansen TE, Vogel LK, Rushbrook JI, et al.  
48  
49 Human cystatin C forms an inactive dimer during intracellular trafficking in  
50  
51 transfected CHO cells. *J Cell Physiol* 1997; 173:423-432.  
52  
53  
54  
55
- 56 7.- Werb Z, Chin JR. Extracellular matrix remodeling during morphogenesis. *Ann NY*  
57  
58 *Acad Sci* 1998; 857:110-118.  
59  
60  
61  
62  
63  
64  
65

1  
2 8.- Shi GP, Sukhova GK, Grubb A, Rhode LH, Lee RT, Ridker PM, et al. Cystatin C  
3  
4 deficiency in human atherosclerosis and aortic aneurysms J Clin Invest 1999; 104:  
5  
6 1191-1197.  
7

8  
9  
10 9.- Cheng XW, Obata K, Kuzuya M. Elastolytic cathepsin induction/activation system  
11  
12 exists in myocardium and is upregulated in hypertensive heart failure. Hypertension  
13  
14 2006; 48: 979-987.  
15  
16

17  
18  
19 10.- Patel PC, Ayers CR, Murphy SA, Peshock R, Khera A, de Lemos JA, et al.  
20  
21 Association of Cystatin C With Left Ventricular Structure and Function The Dallas  
22  
23 Heart Study. Circ Heart Fail 2009; 2: 98-104.  
24  
25

26  
27  
28 11.- McMurray MD, Trivax JE, McCullough PA. Serum Cystatin C renal function and left  
29  
30 ventricular remodeling. Circ Heart Fail 2009; 2: 86-89.  
31  
32

33  
34  
35 12.- Sarnak MJ, Katz R, Fried LF, Siscovich D, Kestenbaum B, Seliger S, et al;  
36  
37 Cardiovascular Health Study. Cystatin C and aging success. Arch Intern Med 2008;  
38  
39 168: 147-153.  
40  
41

42  
43  
44 13.- Shlipak MG, Sarnak MJ, Katz R, Fried LF, Seliger SL, Newman AB, et al. Cystatin C  
45  
46 and the risk of death and cardiovascular events among elderly persons. N Engl J Med  
47  
48 2005; 352:2049-2060.  
49  
50

51  
52  
53 14.- Sarnak MJ, Katz R, Stehman-Breen CO, Fried LF, Jenny NS, Psaty, et al;  
54  
55 Cardiovascular Health Study. Cardiovascular Health Study. Cystatin C concentration  
56  
57 as a risk factor for heart failure in older adults. Ann Intern Med 2005; 142:497-505.  
58  
59  
60  
61  
62  
63  
64  
65

- 1  
2 15.- Djoussé L, Kurth T, Gaziano JM. Cystatin C and risk of heart failure in the  
3  
4 Physicians' Health Study (PHS). Am Heart J 2008;155: 182-186.  
5  
6  
7  
8  
9 16.- Moran A, Katz R, Smith NL, Fried LF, Sarnak MJ, Seliger SL, et al. Concentration  
10 as a predictor of systolic and diastolic heart failure. J Card Fail 2008;14: 19-26.  
11  
12  
13  
14  
15 17.- Deo R, Fyr CL, Fried LF, Newman AB, Harris TB, Angleman S, et al; Health ABC  
16 study. Kidney dysfunction and fatal cardiovascular disease-an association  
17 independent of atherosclerotic events: Results from the Health, Aging, and Body  
18 Composition (Health ABC) study. Am Heart J 2008;155:62-68.  
19  
20  
21  
22  
23  
24  
25  
26 18.- Shlipak MG, Katz R, Fried LF, Jenny NS, Stehman-Breen CO, Newman AB, et al.  
27 Cystatin-C and mortality in elderly persons with heart failure. J Am Coll Cardiol 2005;  
28 45: 268-271.  
29  
30  
31  
32  
33  
34  
35 19.- Pérez-Calvo J, Ruiz-Ruiz F, Francisco J Carrasco-Sánchez J, Morales-Rull JL,  
36 Manzano-Fernández S, Galisteo-Almeda L, et al. Prognostic value of serum cystatin c  
37 and N-terminal pro B-type natriuretic peptide in patients with acute heart failure.  
38 Eur J Intern Med 2012; 23: 599-603.  
39  
40  
41  
42  
43  
44  
45  
46 20.- Zamora E, Lupón J, de Antonio M, Vila J, Peñafiel J, Galán A, et al. Long-term  
47 prognostic value for patients with chronic heart failure of estimated glomerular  
48 filtration rate calculated with the new CKD-EPI equations containing cystatin C. Clin  
49 Chem 2014; 60: 481-489.  
50  
51  
52  
53  
54  
55  
56  
57  
58  
59  
60  
61  
62  
63  
64  
65



1  
2  
3  
4  
5  
6  
7  
8  
9  
21.- Carrasco-Sánchez FJ, Galisteo-Almeda L, Páez-Rubio I, Martínez-Marcos FJ,  
Camacho-Vázquez C, Ruiz-Frutos C, et al. Prognostic value of cystatin C on admission  
in heart failure with preserved ejection fraction. *J Card Fail* 2011; 17: 31-38.

10  
11  
12  
13  
14  
15  
16  
17  
18  
19  
22.- Manzano-Fernández S, Flores-Blanco PJ, Pérez-Calvo JI, Ruiz-Ruiz FJ, Carrasco-  
Sánchez FJ, Morales-Rull JL, et al. Comparison of Risk Prediction With the CKD-EPI  
and MDRD Equations in Acute Decompensated Heart Failure. *J Card Fail* 2013; 19:  
583-591.

20  
21  
22  
23  
24  
25  
26  
27  
28  
23.- Hillege HL, Girbes AR, de Kam PJ, Boomsma F, de Zeeuw D, Charlesworth A,  
et al. Renal function, neurohormonal activation, and survival in patients with chronic  
heart failure. *Circulation* 2000;102:203-210.

29  
30  
31  
32  
33  
34  
35  
36  
37  
38  
39  
24.- Nieminen MS, Bohm M, Cowie MR, Drexler H, Filippatos GS, Jondeau G, et al; ESC  
Committee for Practice Guideline (CPG). Executive summary of the guidelines on the  
diagnosis and treatment of acute heart failure: the Task Force on Acute Heart Failure  
of the European Society of Cardiology. *Eur Heart J* 2005;26:384-416.

40  
41  
42  
43  
44  
45  
46  
47  
48  
49  
50  
25.- Januzzi JL, van Kimmenade R, Lainchbury J, Bayes-Genis A, Ordonez-Llanos J,  
Santalo-Bel M, et al. NT-proBNP testing for diagnosis and short-term prognosis in  
acute destabilized heart failure: an international pooled analysis of 1256 patients:  
the International Collaborative of NT-proBNP Study. *Eur Heart J* 2006; 27: 330-337.

51  
52  
53  
54  
55  
56  
57  
58  
59  
60  
61  
62  
63  
64  
65  
26.- McMurray JJ, Adamopoulos S, Anker SD, Auricchio A, Böhm M, Dickstein K, et al;  
ESC Committee for Practice Guidelines. ESC guidelines for the diagnosis and  
treatment of acute and chronic heart failure 2012: The Task Force for the Diagnosis  
and Treatment of Acute and Chronic Heart Failure 2012 of the European Society of

1  
2  
3  
4  
5  
6  
7  
8  
9  
10  
11  
12  
13  
14  
15  
16  
17  
18  
19  
20  
21  
22  
23  
24  
25  
26  
27  
28  
29  
30  
31  
32  
33  
34  
35  
36  
37  
38  
39  
40  
41  
42  
43  
44  
45  
46  
47  
48  
49  
50  
51  
52  
53  
54  
55  
56  
57  
58  
59  
60  
61  
62  
63  
64  
65

Cardiology. Developed in collaboration with the Heart Failure Association (HFA) of the ESC. Eur J Heart Fail 2012;14: 803-869.

Erratum in Eur J Heart Fail 2013; 15: 361-362.

27.- Zamora E, Lupón J, de Antonio M, Vila J, Galán A, Gastelurrutia P, et al. Limited value of cystatin-C over estimated glomerular filtration rate for heart failure risk stratification. PLoS One 2012; 7: e51234.

28.- Stypmann J, Glaser K, Roth W, Tobin DJ, Petermann I, Matthias R, et al. Dilated cardiomyopathy in mice deficient for the lysosomal cysteine peptidase cathepsin L. Proc Natl Acad Sci USA 2002;99:6234-6239.

29.- Ge J, Zhao G, Chen R, Li S, Wang S, Zhang X, et al. Enhanced myocardial cathepsin B expression in patients with dilated cardiomyopathy. Eur J Heart Fail 2006; 8: 284-289.

30.- Beiras-Fernandez A, Weis F, Rothkopf J, Kaczmarek I, Ledderose C, Dick A, et al. Local expression of myocardial galectin-3 does not correlate with its serum levels in patients undergoing heart transplantation. Ann Transplant 2013; 22;18:643-650.

31.- López B, González A, Querejeta R, Larman M, Díez J. Alterations in the pattern of collagen deposition may contribute to the deterioration of systolic function in hypertensive patients with heart failure. J Am Coll Cardiol 2006; 48: 89-96.

32.- Shirwany A, Weber KT. Extracellular matrix remodeling in hypertensive heart disease. J Am Coll Cardiol 2006; 48: 97-98.

1  
2  
3  
4  
5  
6  
7  
8  
9  
10  
11  
12  
13  
14  
15  
16  
17  
18  
19  
20  
21  
22  
23  
24  
25  
26  
27  
28  
29  
30  
31  
32  
33  
34  
35  
36  
37  
38  
39  
40  
41  
42  
43  
44  
45  
46  
47  
48  
49  
50  
51  
52  
53  
54  
55  
56  
57  
58  
59  
60  
61  
62  
63  
64  
65

33.- Punturieri A, Filippov S, Allen E, Caras I, Murray R, Reddy V, et al. Regulation of elastolytic cysteine proteinase activity in normal and cathepsin K-deficient human macrophages. *J Exp Med* 2000;192: 789-799.

34.- Sam F, Siwik DA. Digesting the Remodeled Heart Role of Lysosomal Cysteine Proteases in Heart Failure. *Hypertension* 2006; 48: 830-831.

1  
2 Leyendas

3  
4 Figura 1

5  
6 Tinción inmunohistoquímica de las muestras de tejido miocárdico (todas las imágenes  
7  
8 están a 20x)

9  
10  
11 Panel A

12 Hematoxilina de contraste y diluyente de anticuerpos (control)

13 Se observa miocitos cardiacos de estructura normal con los núcleos teñidos  
14  
15 débilmente ocupando una posición central dentro de la célula, con tinción de fondo  
16  
17 de hematoxilina. También se observa pigmento de lipofuscina a nivel de los polos del  
18  
19 núcleo(Ac 20X).

20  
21  
22 Panel B

23  
24 Desmina en miocardio fetal: en los casos correspondientes a fetos la expresión de  
25  
26 desmina es mucho mas débil que en el corazón adulto o es negativa traduciendo  
27  
28 probablemente falta de desarrollo de las sarcómeras.

29  
30  
31 Panel C

32  
33 Desmina en miocardio adulto: estriación transversal de todo el miocardio y las  
34  
35 bandas intercalares que destacan más oscuras.

36  
37  
38 Panel D

39  
40 MMP9 en miocardio fetal: la inmunotinción citoplásmica para MMP9 es positiva en  
41  
42 células aisladas en el intersticio. El citoplasma de las células musculares es negativo.

43  
44  
45 Panel E

46  
47 MMP9 en miocardio adulto: al igual que en el caso anterior inmunotinción  
48  
49 citoplásmica para MMP9 en células aisladas en el intersticio, mientras que las células  
50  
51 musculares son negativas.

52  
53  
54 Panel F:

1  
2  
3  
4  
5  
6  
7  
8  
9  
10  
11  
12  
13  
14  
15  
16  
17  
18  
19  
20  
21  
22  
23  
24  
25  
26  
27  
28  
29  
30  
31  
32  
33  
34  
35  
36  
37  
38  
39  
40  
41  
42  
43  
44  
45  
46  
47  
48  
49  
50  
51  
52  
53  
54  
55  
56  
57  
58  
59  
60  
61  
62  
63  
64  
65

CisC en miocardio fetal: se aprecia una celularidad más abundante que en el corazón adulto con disposición menos ordenada de las células y una leve inmunotinción citoplásmica de los miocardiocitos para CisC. Existe alguna célula pequeña aislada en el intersticio que expresa cistatina en su citoplasma.

Panel G:

CisC en miocardio adulto: cardiomiocitos inmunoteñidos con expresión difusa de CisC en el citoplasma.

Tabla 1

Características generales de las muestras de miocardio

Muestras fetales	Muestras de adultos
Edad gestacional 20 semanas	Mujer de 50 años con corazón sano (control)
Edad gestacional 22 semanas	Varón de 71 años con corazón sano (control)
Edad gestacional 30 semanas	Varón de 84 años con corazón sano (control)
Edad gestacional 33 semanas	Varón de 53 años con hipertrofia del VI secundario a hipertensión arterial
	Varón de 80 años con shock cardiogénico tras un IAM

VI: ventrículo izquierdo; IAM: infarto agudo de miocardio

Tabla 2

Características basales de la cohorte clínica

n (%)	351
ICFEr	106 (30,19)
Edad (años)	78,41 (6,77)
Sexo masculino n° (%)	170 (48,4%)
IMC kg/m <sup>2</sup>	29,86 (10,59)
Etiología- n° (%)	
Hipertensiva	157 (44,6)
Cardiopatía isquémica	80 (22,79)
Otras*	114
Clase funcional NYHA - n° (%)	
I	37 (10,54)
II	189 (53,85)
III	119 (33,90)
IV	6 (1,71)
Comorbilidad	
Hipertensión arterial - n° (%)	255 (72,6)
Fibrilación auricular	205 (58,4)
Diabetes mellitus - n° (%)	136 (38,7)
EPOC - n° (%)	71 (20,2)
Sodio mEq/L	141,7 (4,47)
Hemoglobina g/dL	12,12 (0,29)
FGe- ml/min/1,73m <sup>2</sup> (MDRD-4)	52,16 (21,34)
Cistatina, mg/l	1,5 (0,55)

NT-proBNP, pg/mL	6183,21 (9574,91)
------------------	-------------------

\* Algunos pacientes pueden tener varias etiologías simultáneas .

Valores expresados como media ( $\pm$ desviación estándar).

ICFe: insuficiencia cardiaca con fracción de eyección reducida; IMC: índice de masa corporal; NYHA: *New York Heart Association*; EPOC: enfermedad pulmonar obstructiva crónica; FGe: filtrado glomerular estimado; MDRD: *Modification Diet in Renal Disease* formula basada en 4 parámetros; NT-proBNP: fragmento aminoterminal del propéptido natriurético cerebral.



Tabla 3

Correlación entre las concentraciones de cistatina sérica y los parámetros ecocardiográficos

	Cohorte completa	Q1 ≤1,1 mg/dL	Q2 1,11-1,35 mg/dL	Q3 1,36-1,75 mg/dL	Q4 >1,75 mg/dL	p
FE del VI	51,7 (13,95)	50,55 (13,48)	52,65 (14,17)	49,07 (14,78)	54,77 (12,82)	0,075
Diámetro AI (mm)	47,74 (9,27)	48,36 (9,14)	47,95 (8,78)	47,38 (10,21)	47,31 (9)	0,9
VTDVI (ml)	55,25 (9,64)	54,43 (11)	56,36 (9,12)	56,56 (9,84)	53,61 (8,39)	0,204
VTSVI(ml)	38,51 (11,2)	38,8 (12,43)	39 (10,97)	39,45 (11,76)	36,9 (9,66)	0,57
Grosor tabique (mm)	10,52 (2,21)	10,18 (2,71)	10,66 (2,02)	10,56 (2,08)	10,68 (1,99)	0,539
Grosor pared posterior (mm)	10,42 (2,03)	10,47 (2,77)	10,38 (1,85)	10,49 (1,8)	10,35 (1,62)	0,971
Masa VI (g)	204,09 (82,6)	198,33 (91,28)	206,48 (82,76)	213,71 (86,05)	197,32 (70,76)	0,628
Índice de masa del VI (g/m <sup>2</sup> )	115,5 (43)	114,2 (48,5)	115 (41,7)	121,7 (45,2)	111,2 (36,7)	0,56
“Concentricidad”** (g/ml)	3,66 (1,15)	3,64 (1,46)	3,67 (1,16)	3,72 (1,04)	3,63 (0,96)	0,97
Onda E	0,99 (0,36)	0,97 (0,34)	0,97 (0,26)	0,98 (0,43)	1,04 (0,36)	0,786
Onda A**	0,82 (0,33)	0,81 (0,28)	0,72 (0,27)	0,91 (0,38)	0,83 (0,33)	0,378
E/A**	1,25 (0,75)	1,37 (1,1)	1,28 (0,55)	1,03 (0,53)	1,37 (0,79)	0,342
PSAP (mmHg)	46,6 (16,44)	45,81 (13,51)	42,14 (14,51)	48,81 (21,27)	48,03 (15,71)	0,504

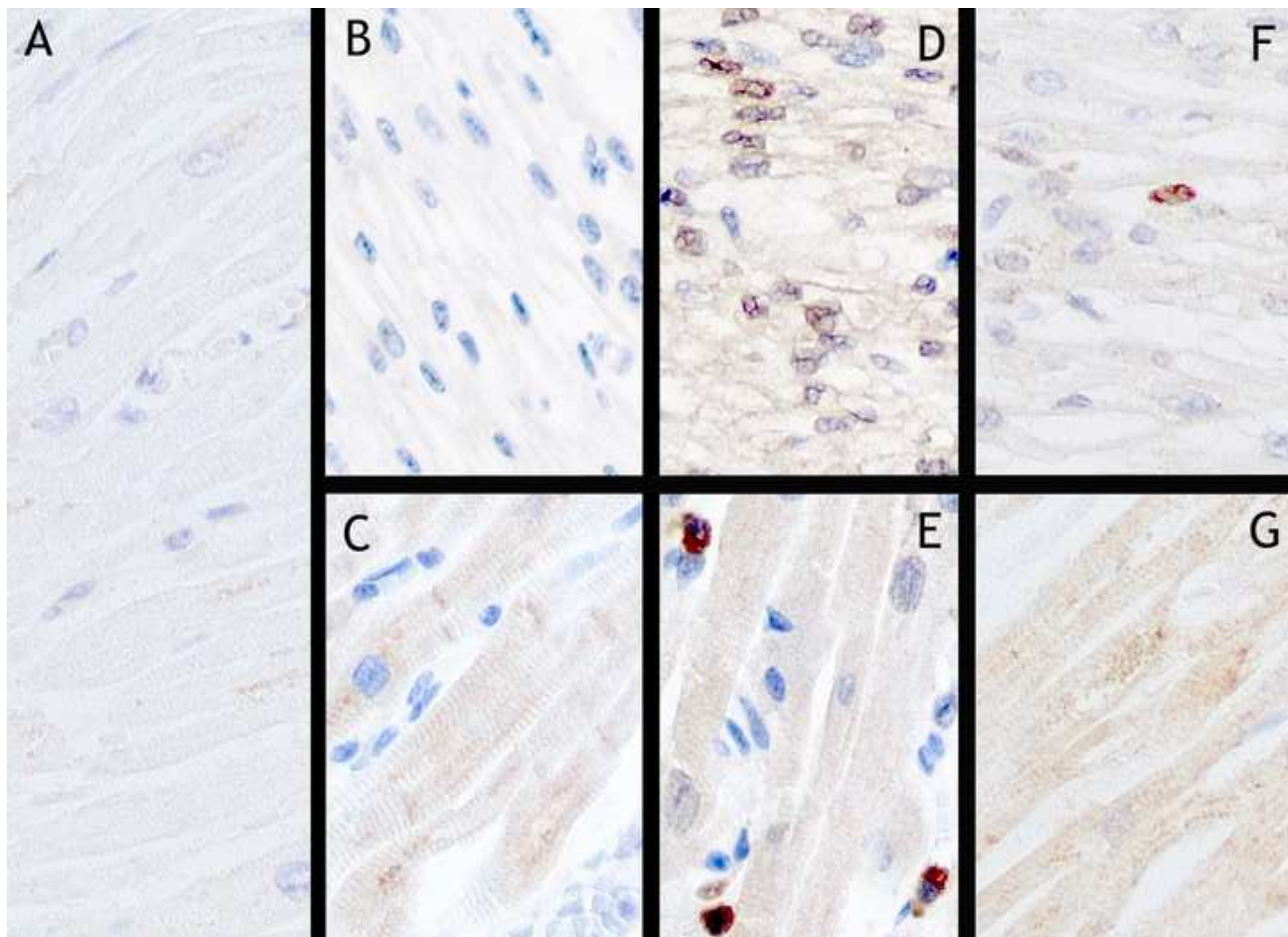
FE del VI: fracción de eyección del ventrículo izquierdo; AI: auricular izquierda;

VTDVI: volumen telediastólico del ventrículo izquierdo; VTSVI: volumen telesistólico del ventrículo izquierdo; PSAP: presión sistólica arterial pulmonar.

\* “Concentricidad”: Masa del VI/ diámetro diastólico del VI

\*\* Solo en pacientes en ritmo sinusal

Figura 1  
[Click here to download high resolution image](#)



Autoevaluación

1  
2  
3  
4  
5  
6  
7  
8  
9  
10  
11  
12  
13  
14  
15  
16  
17  
18  
19  
20  
21  
22  
23  
24  
25  
26  
27  
28  
29  
30  
31  
32  
33  
34  
35  
36  
37  
38  
39  
40  
41  
42  
43  
44  
45  
46  
47  
48  
49  
50  
51  
52  
53  
54  
55  
56  
57  
58  
59  
60  
61  
62  
63  
64  
65

Con relación a la cistatina C, señale la respuesta falsa:

- a) Se trata de una proteasa antagonista de proteasas ricas en cisteína
- b) Su acción se ejerce fundamentalmente a nivel lisosómico
- c) Se sintetiza como propéptido y se secreta junto con un péptido señal
- d) Los genes codificantes pertenecen a los denominados genes de mantenimiento
- e) Su secreción es estable, no se influye por la edad y el filtrado glomerular

Respuesta correcta: b

Aunque la cistatina C se almacena en los lisosomas, una vez secretada, ejerce sus acciones biológicas a nivel extracelular, fundamentalmente a nivel de fluidos corporales. El hecho de ser un producto de los genes de mantenimiento, cuya expresión es muy constante, le aporta ventajas para su empleo como marcador pronóstico en la clínica.

La tinción de cistatina C por inmunohistoquímica, en el miocardio ventricular de sujetos adultos (señale la afirmación correcta):

- a) Se localiza en el intersticio miocárdico
- b) Es fundamentalmente intracelular y perinuclear
- c) Varía en dependencia de la enfermedad de base. La hipertrofia del VI incrementa su expresión
- d) Su expresión es débil y uniforme en todo el miocardio
- e) Existen notables diferencias tintoriales con respecto al miocardio fetal

Respuesta correcta: d

1  
2 La tinción de cistatina es débil y homogénea, no muestra diferencias significativas  
3 entre el adulto y el feto y no se influye por la presencia de hipertrofia ventricular.  
4  
5

6 La concentración sérica de cistatina C es un factor pronóstico en la insuficiencia  
7 cardiaca del adulto. Señale la afirmación que mejor define su capacidad pronóstica:  
8  
9

10 a) La estimación del filtrado glomerular empleando cistatina C en su cálculo mejora  
11 la precisión en los pacientes con descensos de la función renal leve.  
12  
13

14 b) Las concentraciones séricas se correlacionan con la masa del ventrículo izquierdo  
15  
16

17 c) Las concentraciones séricas se correlacionan con el diámetro de la aurícula  
18 izquierda  
19  
20

21 d) Las concentraciones séricas reflejan el balance entre proteasas y antiproteasas a  
22 nivel ventricular  
23  
24

25 e) Las concentraciones séricas es un factor pronóstico independiente de la masa  
26 ventricular y del filtrado glomerular  
27  
28

29  
30  
31  
32  
33 respuesta correcta: a

34  
35 La cistatina C es especialmente precisa en la estimación del filtrado glomerular  
36 cuando este se encuentra por encima de 50 ml/min, situación en que las  
37 concentraciones de creatinina tienden a sobrestimar la tasa de filtrado.  
38  
39  
40  
41  
42  
43

44  
45 Qué propiedades de la cistatina C le confieren precisión a la hora de estimar el  
46 filtrado glomerular:  
47  
48

49 a) Su peso molecular pequeño  
50

51 b) Su carga eléctrica  
52

53 c) La ausencia de reabsorción tubular  
54

55 d) La estabilidad de su secreción por las células nucleadas  
56  
57

58 e) Todas las anteriores  
59  
60  
61  
62  
63  
64  
65

Respuesta correcta: e

La cistatina C es una molécula pequeña, de carga negativa, que se filtra libremente en el glomérulo y se cataboliza en el túbulo contorneado proximal, por lo que no se reabsorbe. Además, al ser un producto de genes de mantenimiento, su tasa de síntesis y secreción permanece invariable, por lo que sus niveles plasmáticos son estables. Todo ello le confiere unas propiedades óptimas para estimar el filtrado glomerular.

1  
2  
3  
4  
5  
6  
7  
8  
9  
10  
11  
12  
13  
14  
15  
16  
17  
18  
19  
20  
21  
22  
23  
24  
25  
26  
27  
28  
29  
30  
31  
32  
33  
34  
35  
36  
37  
38  
39  
40  
41  
42  
43  
44  
45  
46  
47  
48  
49  
50  
51  
52  
53  
54  
55  
56  
57  
58  
59  
60  
61  
62  
63  
64  
65